

بررسی خواص پوشش شیشه‌ی زیست‌فعال 45S5 بر روی زیرلایه‌ی فولاد زنگ‌زن 316L*

سپیده پور‌هاشم^(۱)عبدالله افشار^(۲)

چکیده

به منظور افزایش عمر اعضای پیوندی، بر روی سطح آن‌ها پوشش‌های مانند شیشه‌های زیست‌فعال ایجاد می‌شود تا از خوردگی آن‌ها در محیط‌های بیولوژیکی جلوگیری شود. در این تحقیق، پوشش شیشه‌ی زیست‌فعال 45S5 بر روی زیرلایه‌ی فولاد زنگ‌زن 316L به روش مسل‌ژل ایجاد شد و خواص و ویژگی‌های پوشش با روش‌های مختلف بررسی شد. با توجه به نتایج آزمون XRD پوشش تفجوشی شده در دمای 600°C به مدت زمان ۵ ساعت، از نوع بی‌شکل حاوی مقادیر اندازی از فاز بلورین $\text{Na}_2\text{Ca}_2\text{Si}_3\text{O}_9$ بود. تصویرهای میکروسکوپ الکترونی روبشی نشان دادند که با افزایش تعداد مراحل غوطه‌وری، ترک‌هایی بر روی سطح پوشش ایجاد می‌شود. نتایج آزمون پلاریزاسیون پتانسیوبدینامیک در محلول SBF در دمای 37°C نیز نشان‌دهنده‌ی افزایش مقاومت به خوردگی زیرلایه‌ی پوشش داده شده با شیشه‌ی زیست‌فعال بود.

واژه‌های کلیدی شیشه‌ی زیست‌فعال، فولاد زنگ‌زن 316L، پوشش‌دهی، مسل‌ژل، خوردگی

Evaluation of the Properties of 45S5 Bioglass Coating on 316L Stainless Steel Substrate

S. Pourhashem

A. Afshar

Abstract

In order to increase the life span of implants, coatings such as bioglass are applied on implants' surfaces to prevent their corrosion in biological fluids. In this research, 45S5 bioglass coatings were applied on 316L stainless steel substrate by sol-gel method and coating's properties were examined by different analyses. According to the XRD results, an amorphous compound containing $\text{Na}_2\text{Ca}_2\text{Si}_3\text{O}_9$ crystalline phase is obtained by sintering the coated substrates at 600°C for 5 h. The results of SEM examination showed that cracks appear on the coat by increasing the number of dipping stages. Furthermore, the results of potentiodynamic polarization tests in SBF solution at 37°C showed that 316L stainless steel substrate coated by 45S5 bioglass has a higher corrosion resistance.

Key words Bioglass, 316L Stainless Steel, Coating, Sol-gel, Corrosion

* نسخه‌ی نخست مقاله در تاریخ ۹۱/۸/۲۵ و نسخه‌ی پایانی آن در تاریخ ۹۲/۵/۶ به دفتر نشریه رسیده است.

(۱) دانش آموخته‌ی کارشناسی ارشد، دانشکده مهندسی و علم مواد، دانشگاه صنعتی شریف.

(۲) نویسنده‌ی مسئول، استاد، دانشکده مهندسی و علم مواد، دانشگاه صنعتی شریف.

مختلف شیمیایی می‌باشد [7]. از جمله مزیت‌های آن می‌توان به دمای کمتر فرایند، امکان تهیهٔ مواد با خلوص بالا، همگنی بهتر در ترکیب و پوشش‌های ایجاد شده، کترول ریزساختار، پوشش‌دهی یکنواخت زیرلایه‌هایی با شکل‌های نامعمول و ارزان‌تر بودن نسبت به روش‌هایی مانند فریندهای فاز بخار و پاشش، اشاره کرد [8,9].

در تحقیقاتی که توسط گراسیا و همکاران، [10]، و فتحی و همکاران، [11,12]، انجام شده است، پوششی از شیشه‌ی زیست‌فعال به روش غوطه‌وری در مجموعه‌ی سه جزئی $\text{CaO-SiO}_2\text{-P}_2\text{O}_5$ با ترکیب $57/44$ درصد مولی CaO ، $35/42$ درصد مولی SiO_2 و $7/15$ درصد مولی P_2O_5 بر روی زیرلایه‌هایی از جنس فولاد زنگنزن 316L اعمال کرده‌اند. نتایج این تحقیقات نشان دادند که فولاد زنگنزن پوشش داده شده مقاومت به خوردگی بهتری دارد و زیست‌سازگار است [10,12]. در تحقیقی دیگر که توسط نصراصفهانی و همکاران، [13]، انجام شده است، شیشه‌ی زیست‌فعال 58S و دی‌اکسید تیتانیم به روش سُل-ژل سنتز شده‌اند و سپس، سُل تیتانیا حاوی ذرات شیشه‌ی زیست‌فعال بر روی فولاد زنگنزن 316L به روش غوطه‌وری پوشش داده شده است. در این تحقیق، پوشش‌هایی از ماده‌ی مرکب زیست‌فعال بدون ترک‌های درشت و با چسبندگی مناسب بر روی فولاد زنگنزن به دست آمده است [13]. افزون بر این، نصراصفهانی و همکاران، [14]، سه نوع پوشش نانوساختار از شیشه‌ی زیست‌فعال (45S ، 49S و 58S) به روش لایه‌نشانی چرخشی بر روی فولاد زنگنزن 316L ایجاد کرده‌اند که پوشش‌های حاصل، بی‌شکل، همگن، بدون ترک و با چسبندگی مناسب بر روی زیرلایه بوده‌اند. نتایج مربوط به زیست‌فعالی آن‌ها نشان‌دهنده‌ی تشكیل لایه‌ی کربناتی حاوی آپاتایت در سطح پوشش 45S و تشکیل ناقص این لایه بر روی شیشه‌های نوع 49S و 58S بوده است [14].

در این تحقیق، تلاش شده است تا پوشش شیشه‌ی زیست‌فعال 45S بر روی زیرلایه‌ی فولاد

مقدمه

بعضی از ترکیبات شیشه‌ها می‌توانند به شکل شیشه‌ها، شیشه‌های زیست‌فعال می‌گویند. شیشه‌های زیست‌فعال توانایی تشکیل پیوند با بافت موجود زنده را دارند و در اثر تماس با سیال‌های بیولوژیکی، لایه‌ای از هیدروکسی آپاتایت شبیه به فاز مینرالی استخوان بر سطح آن‌ها تشکیل می‌شود. در نتیجه، اتصال عالی بین عضو پیوندی و بافت ایجاد می‌شود و از حرکت نسبی در فصل مشترک آن‌ها جلوگیری می‌شود. افزون بر این، شیشه‌های زیست‌فعال دارای عناصر سمی برای بدن نیستند [1,2].

اولین شیشه‌ی زیست‌فعال مورد استفاده، شیشه‌ی نوع 45S5 با ترکیب شیمیایی 45 درصد وزنی SiO_2 ، $24/5$ درصد وزنی CaO ، 6 درصد وزنی Na_2O و 6 درصد وزنی P_2O_5 بوده است که زیست‌فعالی آن زیاد بوده و به بافت‌های نرم و سخت پیوند می‌خورده است. امروزه، شیشه‌ی زیست‌فعال 45S5 به طور گسترده‌ای در دندان و گوش میانی به کار می‌رود و در مقایسه با هیدروکسی آپاتایت، کاربردهای زیستی بیشتری دارد [1,3].

شیشه‌های زیست‌فعال خواص مکانیکی خوبی ندارند و نمی‌توان از آن‌ها به شکل ماده‌ی حجیم در مواردی که نیرو اعمال می‌شود، استفاده کرد. بنابراین، کاربرد اصلی آن‌ها به عنوان پوشش بر روی عضوهای پیوندی فلزی است که با این‌کار می‌توان به خواص مکانیکی، مقاومت به خوردگی و زیست‌فعالی مطلوب در یک مجموعه رسید. در این میان، فولاد زنگنزن 316L یکی از آلیاژهایی است که به دلیل ارزانی، ویژگی‌های مناسب ساخت و در دسترس بودن، اغلب در عضوهای پیوندی در پزشکی به کار می‌شود [4,6].

پوشش شیشه‌های زیست‌فعال را می‌توان با روش‌های مختلفی اعمال کرد. در میان این روش‌ها، روش سُل-ژل روش مناسبی برای ایجاد پوشش‌هایی با ترکیبات

زنجن L ۳۱۶ به روش سل - ژل ایجاد شود و خواص سنباده‌زنی و صیقل‌کاری با ذرات آلومینا برای ایجاد سطح کاملاً آبینه‌ای، ۲) ماسه‌پاشی سطح با ذرات سیلیکا (μm)، ۳) فرارگیری زیرلایه‌ی ماسه‌پاشی شده در محلول اسید نیتریک ۲۵ درصد به مدت ۱۲ ساعت. زیرلایه‌های آماده شده با استفاده از سل شیشه‌ی زیست‌فعال که در دمای 50°C پیر شده بودند، با روش پوشش‌دهی غوطه‌وری با سرعت ۵ سانتی‌متر در دقیقه پوشش داده شدند و نمونه‌های به دست آمده پس از خشک شدن در دمای محیط، با استفاده از کوره‌ی الکتریکی در محیط هوا عملیات حرارتی شدند. افزون بر این، به منظور ایجاد پوشش‌های چند لایه پس از هر بار غوطه‌وری، نمونه‌ی مورد نظر در دمای محیط خشک شد و سپس عمل پوشش‌دهی غوطه‌وری تکرار شد. عمل غوطه‌وری سه بار تکرار شد و پس از پوشش‌دهی نهایی، نمونه‌ها داخل کوره‌ی عملیات حرارتی قرار داده شدند. با توجه به نتایج به دست از آزمون XRD، دمای کوره برای عملیات حرارتی با سرعت $1^{\circ}\text{C}/\text{min}$ تا 600°C افزایش یافت و نمونه‌ها به مدت زمان ۵ ساعت در این دما نگهداری شدند.

مشخصه‌یابی پوشش. خواص پوشش با آزمون‌های پراش پرتوی ایکس (XRD) در دستگاه Philips PW3040 با استفاده از آند مسی ($\lambda = 1/54^{\circ}\text{A}$)، متالوگرافی با میکروسکوپ الکترونی روشی (SEM) (VEGA/ TESCAN) و تعیین چسبندگی با روش جدادردن (pull off) مطابق با استاندارد ASTM D4541 بررسی شد. ضخامت پوشش با دستگاه Dual Scope به وسیله‌ی جریان‌های گردابی و زبری سطح زیرلایه‌ی ماسه‌پاشی شده با دستگاه زبری سنج (EMD-1500-31) اندازه‌گیری شد.

آزمون پلاریزاسیون پتانسیوبدینامیک در محلول SBF (محلول شبیه‌سازی بدن) با pH ۷/۴ و دمای 37°C به وسیله‌ی پتانسیواستات/ گالوانواستات نوع N 302N Autolab GSTAT انجام شد. در این آزمون،

زنگن L ۳۱۶ به روش سل - ژل ایجاد شود و خواص و ویژگی‌های پوشش مورد بررسی قرار گیرد تا به این وسیله، پوششی با ویژگی‌های مطلوب ایجاد شود.

روش تحقیق

تهیه‌ی سل شیشه‌ی زیست‌فعال نوع ۴۵S5 برای تهیه سل شیشه‌ی زیست‌فعال نوع ۴۵S5 ابتدا ۴/۱ مول تترا اتیل اورتوسیلیکات (TEOS) به اسید نیتریک $0/1$ مولار (نسبت مولی اسید نیتریک به TEOS برابر با 30° در نظر گرفته شد) اضافه شد و مخلوط به دست آمده به مدت زمان ۱ ساعت در دمای اتاق هم‌زده شد تا TEOS هیدرولیز شود. سپس، واکنش‌گرهای زیر به ترتیب با فاصله زمانی ۱ ساعت به سل اضافه شدند: $2/1$ مول تری‌اتیل فسفات (TEP)، $26/9$ مول کلسیم نیترات چهار آبه و $24/4$ مول سدیم نیترات. پس از افزودن ماده‌ی نهایی، سل مجدداً به مدت ۱ ساعت هم‌زده شد (مواد اولیه‌ی مصرفی از تولیدات شرکت مِرک آلمان بوده‌اند). [15,16]

سل تهیه شده به مدت زمان ۱۰ روز درون یک ظرف در بسته در دمای اتاق نگهداری شد تا واکنش‌های هیدرولیز و پلی‌مرشدن روی دهنده و ژل به دست آید. ژل حاصل به مدت ۷۲ ساعت در دمای 70°C و سپس، 48°C ساعت در دمای 120°C حرارت داده شد تا تمام آب موجود در آن خارج شود. ژل خشک شده در دمای 80°C و 700°C ، 600°C و 700°C به مدت زمان ۱ ساعت نگهدارته شد و در دمای 600°C به مدت زمان ۵ ساعت تفجوشی شد. از نمونه‌های تفجوشی شده در شرایط مختلف برای بررسی‌های XRD استفاده شد تا به این وسیله، دمای مناسب برای تفجوشی شیشه‌ی زیست‌فعال به منظور به دست آوردن ساختار بی‌شکل عاری از نیترات‌ها تعیین شود.

ایجاد پوشش شیشه‌ی زیست‌فعال ۴۵S5 بر روی زیرلایه‌ی فولاد زنگن L ۳۱۶. برای پوشش‌دهی، زیرلایه‌هایی از جنس فولاد زنگن L ۳۱۶ به ابعاد $0/5$

تفجوشی به 700°C ، شدت پیک‌های مربوط به فاز بلورین $\text{Na}_2\text{Ca}_2\text{Si}_3\text{O}_9$ افزایش یافته است و پیک‌های مربوط به فاز نیترات حذف شده‌اند که این نشان‌دهنده‌ی خروج کامل نیترات است. افرون بر این، فاز بلورین $\text{Na}_2\text{Ca}_3\text{Si}_6\text{O}_{16}$ نیز ظاهر شده است. با تفجوشی در دمای 80°C به مدت ۱ ساعت، شدت پیک‌های دو فاز بلورین $\text{Na}_2\text{Ca}_2\text{Si}_3\text{O}_9$ و $\text{Na}_2\text{Ca}_3\text{Si}_6\text{O}_{16}$ افزایش بیش‌تری یافته است که این بیان‌گر افزایش میزان فاز بلورین در نمونه‌ها می‌باشد.

شیشه‌های حاوی مقدار زیادی مواد قلیایی معمولاً دمای شروع بلورینگی کمتری دارند و حضور یون‌ها $[\text{OH}^-]$ بر روی سطح پودر شیشه‌های زیست‌فعال باعث افزایش وقوع تبلور می‌شود [4]. تفجوشی در دماهای بالا موجب تشکیل فاز بلورین $\text{Na}_2\text{Ca}_2\text{Si}_3\text{O}_9$ از $\text{Na}_2\text{O}_2\text{CaO}_3\text{SiO}_2$ شیشه‌ایی با ترکیب شیمیایی بین $1\text{Na}_2\text{O}_2\text{CaO}_3\text{SiO}_2$ و $1.5\text{Na}_2\text{O}-1.5\text{CaO}-3\text{SiO}_2$ می‌شود [18]. وجود فسفات و سیلیکا در شبکه‌ی شیشه‌های زیست‌فعال و احتمال جدایی دو فاز در مقیاس درشت در نتیجه‌ی عملیات حرارتی، یکی از دلایل تبلور آسان شیشه‌های زیست‌فعال است. افزودن P_2O_5 به ترکیب شیشه‌های سیلیکاتی باعث جوانه‌زنی حجمی و تشکیل شیشه-سرامیک می‌شود. بلورهای فسفات رسوب می‌کنند و به عنوان محل‌های جوانه‌زنی ناهمگن برای بیش‌تر فازها عمل می‌کنند [19].

با انجام عملیات حرارتی در دمای 600°C به مدت ۱ ساعت، نیترات در نمونه وجود دارد و کاملاً خارج نشده است. با انجام عملیات حرارتی در دمای 700°C به مدت 800°C ساعت، درصد فاز بلورین در نمونه به شدت افزایش یافته است. از طرف دیگر، پایین بودن دمای تفجوشی تا حد ممکن همواره مطلوب است، زیرا دمای بالا باعث وقوع تغییرات فازی در ریزساختار زیرلایه و افت خواص مکانیکی می‌شود [20]. بنابراین، نمونه‌ای از شیشه‌ی زیست‌فعال 45S5 در دمای 600°C به مدت زمان ۵ ساعت عملیات

نمونه (زیرلایه‌ی دارای پوشش یا بدون پوشش) به عنوان الکترود کاری، الکترود گرافیت به عنوان الکترود کمکی و الکترود کالومل اشباع (SCE) به عنوان الکترود مرجع به کار رفت. در آزمون‌های پلاریزاسیون، سرعت اسکن 1 mV/s و سطح الکترود کاری برای سرعت ارائه شده توسط گرفته شد. محلول SBF مطابق با روش ارائه شده توسط گُکوبو و تاکاداما، [17]، آماده شد. ترکیب شیمیایی و ترتیب افزودن مواد اولیه برای تهییه ۱ لیتر از محلول SBF، در جدول (۱) آمده است.

جدول ۱ ترتیب افزودن، مقدار، خلوص و وزن مولکولی مواد اولیه مورد استفاده برای تهییه ۱۰۰۰ میلی‌لیتر محلول SBF

ردیف	مواد اولیه	مقدار	خلوص (%)	وزن مولکولی (g/mol)
۱	NaCl	۸/۰۳۵ g	۹۹/۵	۵۸/۴۴
۲	NaHCO ₃	۰/۳۵۵ g	۹۹/۵	۸۴/۰
۳	KCl	۰/۲۲۵ g	۹۹/۵	۷۴/۵۵
۴	K ₂ HPO ₄ .3H ₂ O	۰/۲۳۱ g	۹۹/۰	۲۲۸/۲۲
۵	MgCl ₂ .6H ₂ O	۰/۳۱۱ g	۹۸/۰	۲۰۲/۳۰
۶	1.0 M HCL	۳۹ ml	-	-
۷	CaCl ₂	۰/۲۹۲ g	۹۵/۰	۱۱۰/۹۸
۸	Na ₂ SO ₄	۰/۰۷۲ g	۹۹/۰	۱۴۲/۰۴
۹	Tris	۷/۱۱۸ g	۹۹/۰	۱۲۱/۱۴
۱۰	1.0 M HCl	۰-۵ ml	-	-

نتایج و بحث

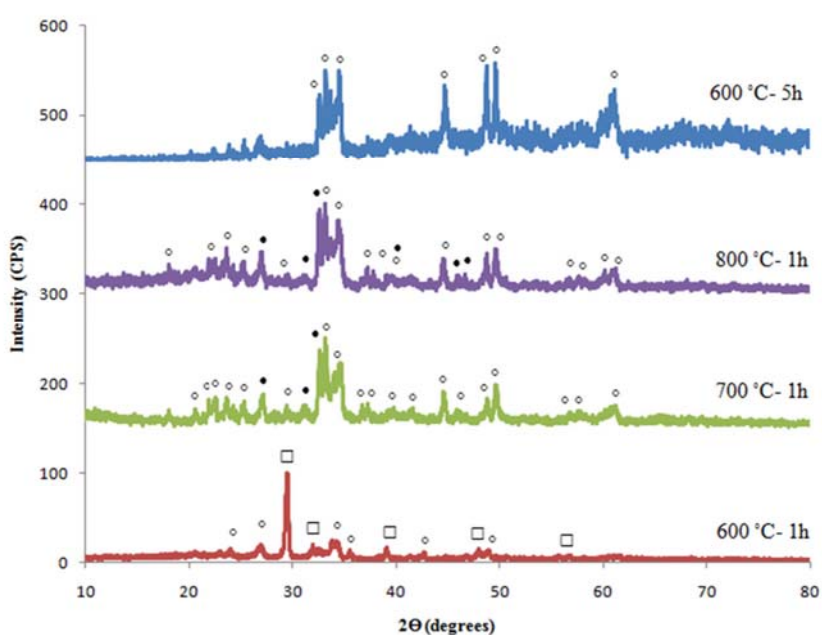
تأثیر عملیات حرارتی بر ساختار شیشه‌ی زیست‌فعال 45S5 شکل (۱)، نتایج آزمون XRD مربوط به شیشه‌ی زیست‌فعال 45S5 را پس از تفجوشی در دمای 600°C به مدت زمان ۱ ساعت نشان می‌دهد. در الگوی پراش پرتوی ایکس این نمونه، پیک‌های نیترات و فاز بلورین $\text{Na}_2\text{Ca}_2\text{Si}_3\text{O}_9$ مشاهده می‌شود. با افزایش دمای

ماسه‌پاشی تولید شده‌اند پس از قرارگیری در محلول اسید نیتریک ۲۵ درصد به مدت ۱۲ ساعت به ترتیب برابر با 0.5 MPa , 0.5 MPa و 0.5 MPa بوده است آمد. در نتیجه، چسبندگی پوشش بر روی زیرلایه‌ی ماسه‌پاشی شده پس از قرارگیری در محلول اسید نیتریک بیشتر است. چسبندگی اغلب پوشش‌ها در نتیجه‌ی قفل شدن مکانیکی و تشکیل پیوند شیمیایی بین پوشش و زیرلایه است [7]. با ماسه‌پاشی زیرلایه و افزایش زبری سطح آن، چسبندگی به دلیل قفل شدن مکانیکی افزایش می‌یابد.

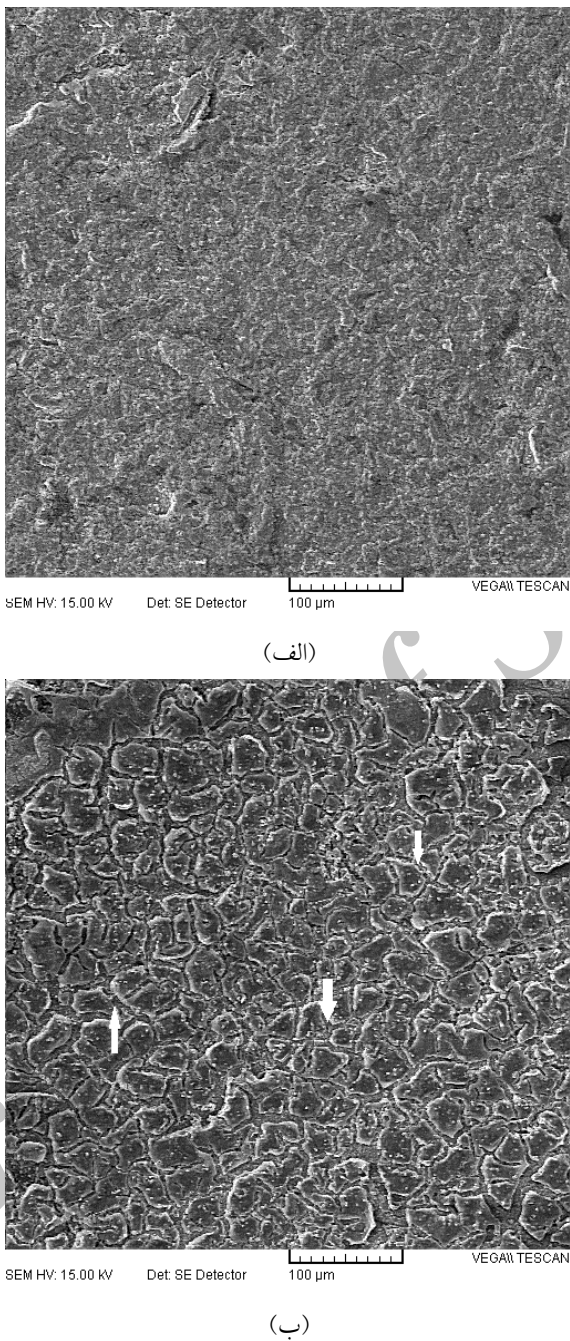
تأثیر تعداد مراحل غوطه‌وری درون سُل بر کیفیت پوشش. در این بخش، تأثیر دفعات غوطه‌وری درون سُل بر کیفیت پوشش‌های ایجاد شده بررسی می‌گیرد. با افزایش تعداد مراحل غوطه‌وری درون سُل از ۱ به ۳ بار، ضخامت پوشش از ۳ به ۷ میکرومتر افزایش و چسبندگی پوشش به زیرلایه از 0.5 MPa به $4/5 \text{ MPa}$ کاهش یافته است.

حرارتی شد. الگوی پراش پرتوی ایکس مربوط به شیشه‌ی زیست‌فعال 45S5 که در دمای 600°C به مدت ۵ ساعت تفجوشی شده است (شکل ۱)، دارای زمینه‌ی نفوذی است که این نشان‌دهنده‌ی حضور فاز بی‌شکل است. در این الگو، پیک‌های فاز بلورین $\text{Na}_2\text{Ca}_2\text{Si}_3\text{O}_9$ نیز وجود دارند، ولی پیک‌های مربوط به نیترات مشاهده نمی‌شوند که این نشان‌دهنده‌ی خروج کامل نیترات است. سیلیکات‌های کلسیم و سدیم-کلسیم معمولاً در مواد زیست‌فعال استفاده می‌شوند. تشکیل فازهای بلورین مانع از بروز رفتار زیست‌فعال در شیشه‌ی 45S5 نمی‌شود [21]. در نتیجه، زیرلایه‌های پوشش داده شده با سُل شیشه‌ی زیست‌فعال در دمای 600°C به مدت زمان ۵ ساعت تفجوشی شدند.

تأثیر آماده‌سازی سطح بر خواص پوشش. کیفیت ظاهری پوشش ایجاد شده بر روی زیرلایه‌های ماسه‌پاشی شده بهتر بوده است و پوشش یکنواخت‌تری بر روی این زیرلایه‌ها تشکیل شده است. چسبندگی پوشش به زیرلایه که با روش‌های صیقلکاری و



شکل ۱ الگوی پراش پرتوی ایکس مربوط به شیشه‌ی زیست‌فعال 45S5 ($\text{Na}_2\text{Ca}_3\text{Si}_6\text{O}_{16}$ •, $\text{Na}_2\text{Ca}_2\text{Si}_3\text{O}_9$ ◻, NaNO_3 □)



شکل ۲ تصویرهای میکروسکُپ الکترونی روبشی از پوشش شیشه‌ی زیست‌فعال بر روی زیرلایه‌ی فولاد زنگنزن L۳۱۶. (الف) ۱ بار غوطه‌وری و (ب) ۳ بار غوطه‌وری.

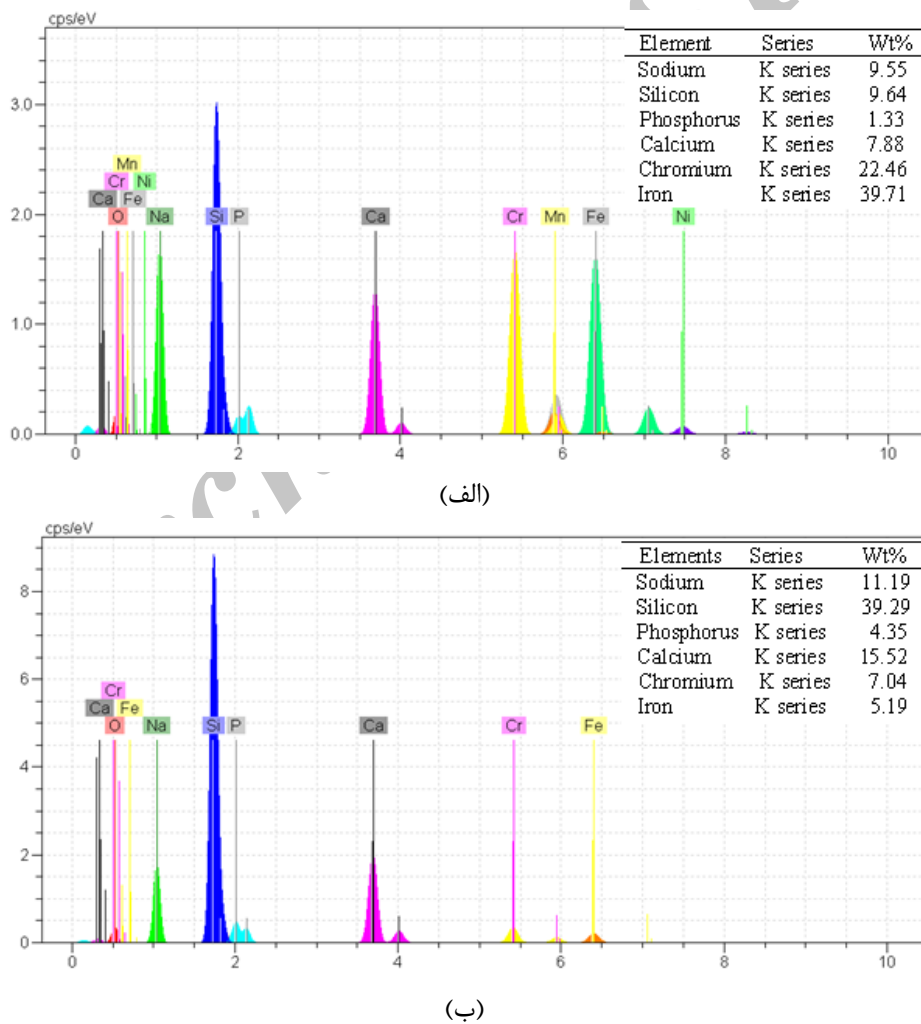
شده بر روی زیرلایه با یکبار غوطه‌وری، کاملاً یکنواخت و عاری از هرگونه ترک و عیب است. با افزایش مراحل غوطه‌وری، پوشش ترک‌دار می‌شود. اختلاف بین ضریب انبساط حرارتی پوشش و زیرلایه

شکل (۲)، تصویرهای میکروسکُپ الکترونی روبشی تهیّه شده از سطح پوشش شیشه‌ی زیست‌فعال بر روی زیرلایه‌ی فولاد زنگنزن L۳۱۶ پس از ۱ و ۳ بار غوطه‌وری درون سُل را نشان می‌دهد. پوشش ایجاد

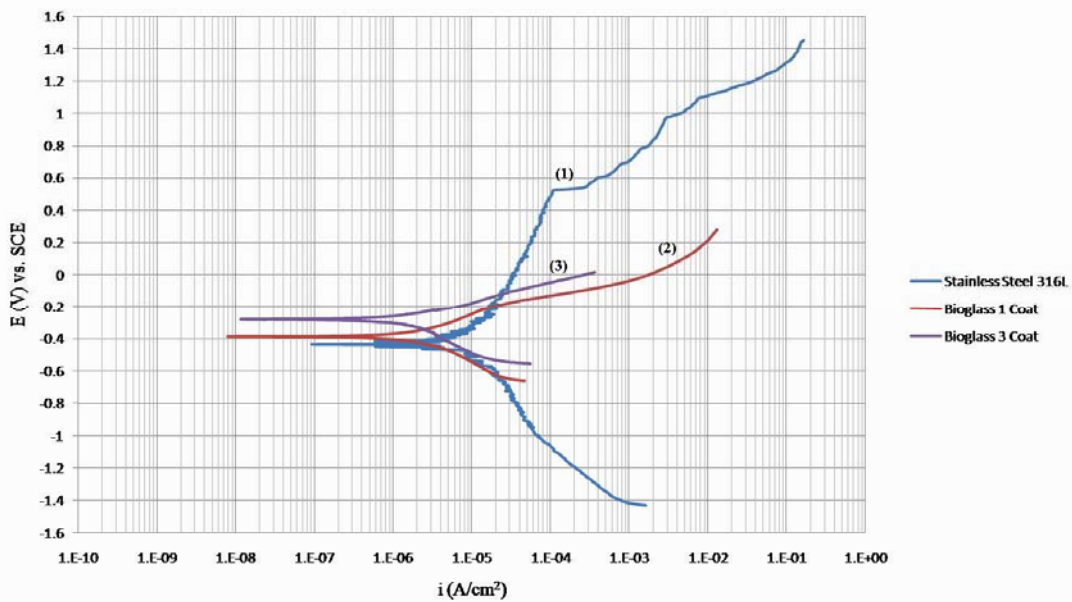
در صد آهن و کروم در پوشش‌های حاصل از یکبار غوطه‌وری زیاد است و با افزایش مراحل غوطه‌وری، میزان آنها درون پوشش کاهش می‌یابد. این کاهش نتیجه‌ی افزایش ضخامت پوشش است. هر چه پوشش ضخیم‌تر باشد، مانع بهتری در برابر نفوذ یون Fe^{3+} است و میزان آهن موجود در سطح کم‌تر خواهد بود. پوشش‌ها مانع خوبی در برابر نفوذ آهن از زیرلایه به سمت پوشش هستند، زیرا آهن از رفتار زیست‌فعالی جلوگیری می‌کند [22].

باعث تجمع تنش باقی‌مانده و در نتیجه، تشکیل ترک هنگام سرد شدن می‌شود [21]. افزون بر این، نتایج تحقیقات نشان داده‌اند که پوشش زیست‌فعال بر روی فولاد زنگنزن L ۳۱۶ دارای یک ضخامت بحرانی است ($5 \mu\text{m}$) و این ضخامت به عنوان بیشترین ضخامت پوشش بدون ترک تعریف می‌شود. افزایش ضخامت موجب افزایش تنش‌های باقی‌مانده در پوشش و در نهایت، ایجاد ترک در آن می‌شود [7].

شکل (۳)، نتایج آزمون EDX مربوط به پوشش شیشه‌ی زیست‌فعال بر روی سطح فولاد زنگنزن ۳۱۶L را نشان می‌دهد. همان‌طور که مشاهده می‌شود،



شکل ۳ نتایج آزمون EDX مربوط به پوشش شیشه‌ی زیست‌فعال 45S5 بر روی زیرلایه فولاد زنگنزن L ۳۱۶L:
 (الف) ۱ بار غوطه‌وری و (ب) ۳ بار غوطه‌وری.



شکل ۴ نمودارهای پلاریزاسیون پتانسیو دینامیک در محلول SBF در دمای 37°C (۱) فولاد زنگنزن ۳۱۶L بدون پوشش، (۲) فولاد زنگنزن ۳۱۶L با پوشش شیشه‌ی زیست‌فعال ۴۵S5 (۱ بار پوشش داده شده) و (۳) فولاد زنگنزن ۳۱۶L با پوشش شیشه‌ی زیست‌فعال ۴۵S5 (۳ بار پوشش داده شده).

جدول ۲ نتایج به دست آمده از نمودارهای پلاریزاسیون پتانسیو دینامیک در محلول SBF در دمای 37°C

نمونه	پتانسیل خوردگی (V. vs. SCE)	چگالی جریان خوردگی ($\mu\text{A}/\text{cm}^2$)	مقاومت پلاریزاسیون ($\text{M}\Omega \text{ cm}^2$)
بدون پوشش	-0/42	1/3	0/14
۱ بار پوشش داده شده	-0/38	1/07	0/63
۳ بار پوشش داده شده	-0/28	1/028	1/3

با اعمال پوشش شیشه‌ی زیست‌فعال بر روی زیرلایه، مقاومت پلاریزاسیون می‌کند و چگالی جریان خوردگی کاهش می‌یابد، و این نشان‌دهنده‌ی افزایش مقاومت به خوردگی زیرلایه‌ها پس از پوشش دهی با شیشه‌ی زیست‌فعال است. افزون بر این، با افزایش تعداد مراحل غوطه‌وری سرعت خوردگی کاهش یافته است. اگرچه با افزایش تعداد مراحل غوطه‌وری، ترک‌هایی بر روی سطح مشاهده شدند، اما چگالی جریان خوردگی کاهش یافته است، زیرا با افزایش تعداد مراحل پوشش دهی، ضخامت پوشش افزایش و میزان نفوذ الکتروولیت به

بررسی رفتار خوردگی پوشش در محلول شبیه‌سازی شده‌ی بدنه در شکل (۴) و در جدول (۲)، نتایج آزمون پلاریزاسیون پتانسیو دینامیک بر روی فولاد زنگنزن ۳۱۶L بدون پوشش و پوشش داده شده در محلول SBF در دمای 37°C نشان داده شده‌اند. پتانسیل خوردگی (E_{corr})، چگالی جریان خوردگی (i_{corr}) و شب آندی/کاتدی تافل (β_a و β_c) با استفاده از روش برون‌یابی تافل تعیین شدند. سپس، مقاومت پلاریزاسیون (R_p) از رابطه‌ی استرن-گیری به شکل زیر، محاسبه شد:

$$R_p = \frac{\beta_a \beta_c}{2.3 i_{\text{corr}} (\beta_a + \beta_c)} \quad (1)$$

نتایج پوشش دهنده شیشه‌ی زیست‌فعال بر روی زیرلایه‌ی فولاد زنگنزن L ۳۱۶ نشان دادند که با استفاده از سل شیشه‌ی زیست‌فعال پس از پرسازی در دمای 50°C و زیرلایه‌های ماسه‌پاشی شده و قرار گرفته در محلول اسید نیتریک، پوشش‌های تکلایه‌ی همگن و بدون ترک با چسبندگی 6 MPa به دست می‌آید. با افزایش تعداد مراحل غوطه‌وری درون سل از یکبار به سه بار، چسبندگی پوشش تا مقدار $4/5\text{ MPa}$ کاهش یافت و ترک‌ها در پوشش ظاهر شدند. افزون بر این، پوشش شیشه‌ی زیست‌فعال بر روی زیرلایه فولاد زنگنزن L ۳۱۶، مقاومت به خوردگی زیرلایه را در محلول شیشه‌سازی شده بدن افزایش داد.

زیرلایه کاهش یافته است.

نتیجه‌گیری

نتایج حاصل از تحلیل فازی شیشه‌ی زیست‌فعال 45S5 نشان دادند که با افزایش دمای تفجوشی از 600°C به 700°C با زمان نگهداری ۱ ساعت، نیترات از ساختار شبیه خارج می‌شود و فاز بلورین $\text{Na}_2\text{Ca}_2\text{Si}_3\text{O}_6$ در کنار فاز بلورین $\text{Na}_2\text{Ca}_3\text{Si}_6\text{O}_{16}$ ظاهر می‌شود. افزون بر این، با تفجوشی در دمای 600°C با زمان نگهداری ۵ ساعت، فاز بی‌شکل به همراه فاز بلورین $\text{Na}_2\text{Ca}_2\text{Si}_3\text{O}_6$ به دست می‌آید. بنابراین، زیرلایه‌های پوشش داده شده با شبیه‌ی زیست‌فعال 45S5 در این شرایط تفجوشی شدند.

مراجع

1. Hench, L.L., "The story of Bioglass", Materials Science: Materials in Medicine, Vol. 17, pp. 967–978, (2006).
2. Ma, J., Chen, C.Z., Wang, D.G., Meng, X.G. and Shi, J.Z., "Influence of the sintering temperature on the structural feature and bioactivity of sol-gel derived $\text{SiO}_2\text{--CaO--P}_2\text{O}_5$ bioglass", Ceramics International, Vol. 36, pp. 1911–1916, (2010).
3. Jurczyk, K., Niespodziana, K., Jurczyk, M.U. and Jurczyk, M., "Synthesis and characterization of titanium- 45S5 Bioglass nanocomposites", Materials and Design, Vol. 32, pp. 2554-2560, (2011).
4. Lopez-Esteban, S., Saiz, E., Fujino, S., Oku, T., Saganuma, K. and Tomsia, A.P., "Bioactive glass coatings for orthopedic metallic implants", European Ceramic Society, Vol. 23, pp. 2921–2930, (2003).
5. Schrooten, J. and Helsen, J.A., "Adhesion of bioactive glass coating to Ti6Al4V oral implant", Biomaterials, Vol. 21, pp. 1461-1469, (2000).
6. Singh, R. and Dahotre, N.B., "Corrosion degradation and prevention by surface modification of biometallic materials", Materials Science: Materials in Medicine, Vol. 18, pp. 725–751, (2007).
7. Mazar Atabaki, M., Jafar, R. and Idris, J., "Sol-gel bioactive glass coating for improvement of biocompatible human body implant", Metalurgija, Vol. 16, pp. 149-163, (2010).
8. Hench, L.L., Jones, J.R. and Sepulveda, P., "Bioactive materials for tissue engineering scaffolds", Future strategies for tissue and organ replacement, World Scientific Pub. Co Inc., Singapore, pp. 3–24, (2002).

9. Barry, C.C. and Grant, N.M., "Ceramic Materials, Science and engineering", Springer, pp. 400-411, (2007).
10. Garcia, C., Cere, S. and Duran, A., "Bioactive coatings prepared by sol-gel on stainless steel 316L", Non-Crystalline Solids, Vol. 348, pp. 218–224, (2004).
11. Fathi, M.H. and Doostmohammadi, A., "Bioactive glass nanopowder and bioglass coating for biocompatibility improvement of metallic implant", Materials Processing Technology, Vol. 209, pp. 1385–1391, (2009).
12. Fathi, M.H. and Doost Mohammadi, A., "Preparation and characterization of sol-gel bioactive glass coating for improvement of biocompatibility of human body implant", Materials Science and Engineering: A, Vol. 474, pp. 128–133, (2008).
13. نصر اصفهانی، م.، ابراهیمی، ر.، داداش، م.، صن. و کرباسی، س.، "مقایسه خواص فیزیکی - شیمیایی پوشش نانوکامپوزیت شیشه زیستفعال- دی اکسید تیتانیم و زیستفعال آنها"، فصلنامه مهندسی مواد مجلسی، شماره دوم، صفحه ۱-۸، (۱۳۸۹).
14. نصر اصفهانی، م.، فتحی، م. ح. و ادریس، ح.، "مقایسه خواص فیزیکی - شیمیایی سه نوع پوشش نانوساختار شیشه زیستفعال و زیستفعال آنها"، فصلنامه مهندسی مواد مجلسی، شماره سوم، صفحه ۲۹-۳۵، (۱۳۸۸).
15. Siqueira, R. L., Peitl, O. and Zanotto, E. D., "Gel-derived $\text{SiO}_2\text{-CaO-Na}_2\text{O-P}_2\text{O}_5$ bioactive powders: Synthesis and in vitro bioactivity", Materials Science and Engineering C, Vol. 31 , pp. 983-991, (2011).
16. Chen, Q., Li, Y., Jin, L., Quinn, J. and Komesaroff, P. A., "A new sol-gel process for producing Na_2O -containing bioactive glass ceramics", Acta Biomaterialia, Vol. 6, pp. 4143–4153, (2010).
17. Kokubo, T. and Takadama, H., "How useful is SBF in predicting in vivo bone bioactivity?", Biomaterials, Vol. 27, pp. 2907–2915, (2006).
18. Qian, J., Kang, Y., Wei, Z. and Zhang, W., "Fabrication and characterization of biomorphic 45S5 bioglass scaffold from sugarcane", Materials Science and Engineering C, Vol. 29, pp. 1361–1364, (2009).
19. ElBatal, H.A., Azooz, M.A., Khalil, E.M.A., Monem, A.S. and Hamdy, Y.M., "Characterization of some bioglass-ceramics", Materials Chemistry and Physics, Vol. 80, pp. 599–609, (2003).
20. Aksakal, B. and Hanyaloglu, C., "Bioceramic dip-coating on Ti-6Al-4V and 316L SS implant Materials", Materials Science: Materials in Medicine, Vol. 19, pp. 2097–2104, (2008).
21. Cannillo, V. and Sola, A., "Different approaches to produce coatings with bioactive glasses: Enamelling vs plasma spraying", European Ceramic Society, Vol. 30, pp. 2031–2039, (2010).
22. Galliano, P., Damborenea, J. J., Pascual, M. J. and Duran, A., "Sol-gel coatings on 316L steel for clinical applications", Sol-Gel Science and Technology, Vol. 13, pp. 723–727, (1998).